



Fot.1.- Aspecto general de las coladas basálticas miocenas, en el barranco de Chinguarime. A la derecha, se observa un edificio piroclástico desmantelado del Plioceno (P).

Fotografía: R.Balcells

Edad: Mioceno.



Fot.10.- Discordancia (d) entre las series miocenas y pliocenas en la playa de Suárez y Punta Gaviota.

Fotografía: R.Balcells

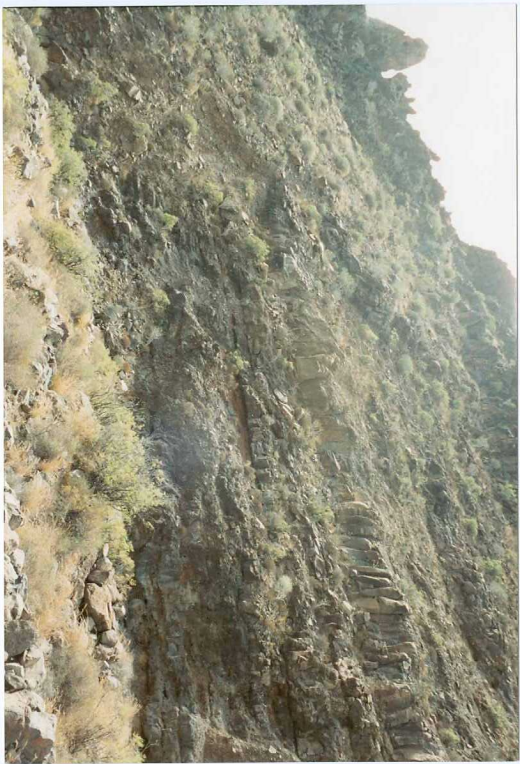
Edad: Mioceno y Plioceno.

*ESTA FOTOGRAFÍA, PASA A LA HOJA DE PUNTA DEL CABRITO (1105 I) POR ESTAR FUERA DE PLANO.

Fot.11.- Detalle de las coladas miocenas pahoehoe, de la fotografía anterior.

Fotografía: R.Balcells

Edad: Miocene.



Fot. 12.- Intrusivo basáltico con disyunción columnar, en las coladas miocenas de la parte inferior de la ladera oeste del barranco de Santiago.

Fotografía: R. Balcells

Edad: Mioceno.





Fot.13.- Vista general de un sector al este de Playa de Santiago, donde se observan las emisiones basálticas miocenas muy erosionadas y disectadas por profundos barrancos: barranco de Tapahuga (T) y barranco de Enmedio (E).

Fotografia: R.Balcells

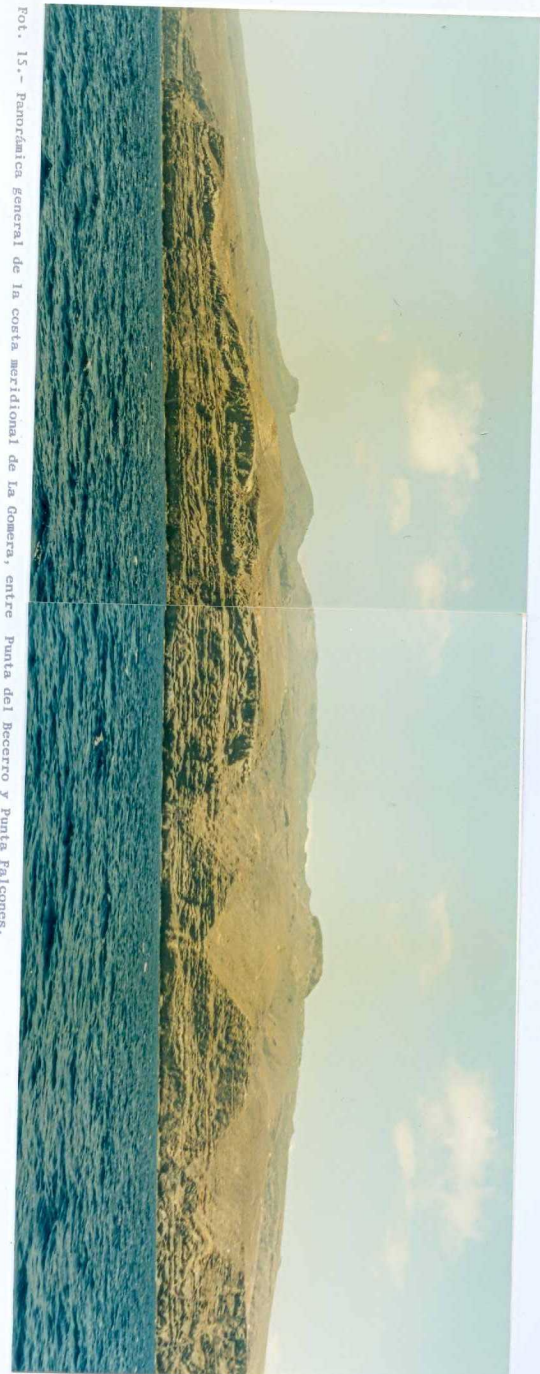
Edad: Mioceno.



Fot. 14.- Panorámica general de la costa meridional de La Gomera, entre Playa Santiago y el barranco de Ereses. Se observan los apiles cubiertos por las emisiones basálticas pliocenas (P), entre las que se distinguen emisiones traquíticas (T). El talud que s

explanada del aeropuerto en construcción (A).

Fotografía: R.Balcells



Fot. 15.- Panorámica general de la costa meridional de La Gomera, entre Punta del Bocero y Punta Falcones,

Fotografía: R.Balcells

Edad: Miocene y Plioceno.



Fot. 16.- Dique alimentador (d) de emisiones traquíticas, en el acantilado de La Caimita Aguada, junto a La Caldera.

Fotografía: R. Balcells

Edad: Plioceno.



Fig. 17.- Intrusivo traquítico de Roque Blanco (RB), al suroeste de Vegaipala.

Fotografía: R. Balcells

Edad: Mioceno.

* ESTA FOTOGRAFÍA PASA A LA HOJA DE HERRIGUA (109 III)
POR ESTAR FUERA DE PLANO



Fot.18.- Toba piroclástica traquítica, asociada al intrusivo de Roque Blanco, en la carretera entre Vegaipala y Las Toscas.

Fotografía: R.Balcells

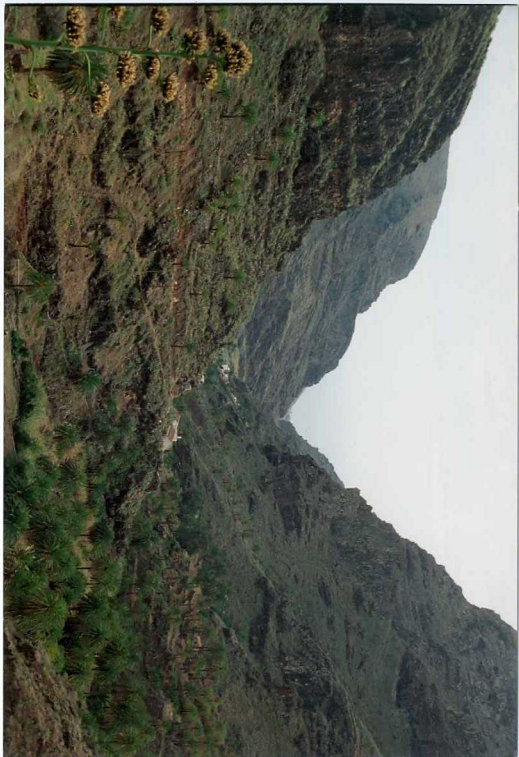
Edad: Mioceno.



Fot.19.- Intrusivo (lacolito) traquítico de Punta del Becerro (PB), atravesando coladas basálticas miocenas. Al fondo destaca el intrusivo traquítico de El Calvario de Alajeró (C).

Fotografía: R.Balcells

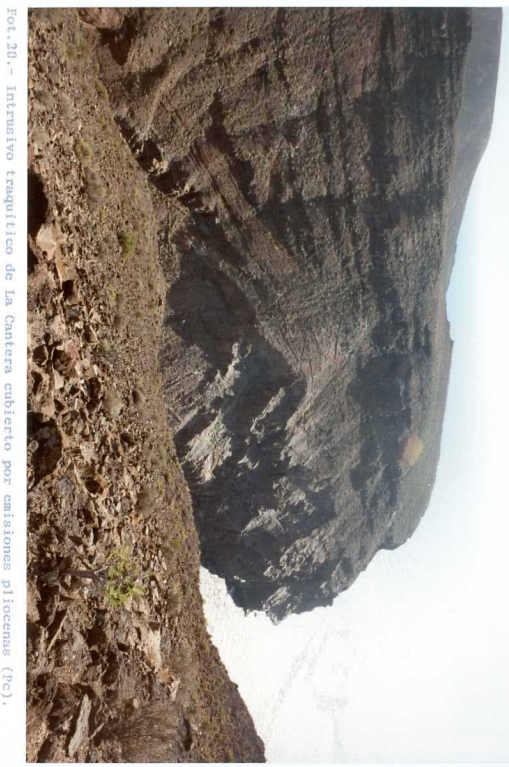
Edad: Mioceno.



Pot. 2.- Apilamiento de coladas basálticas miocenas, seccionadas por el barranco de Guarimiar-Santiago.

Fotografía: R. Bailets

Edad: Mioceno.



Fot. 20.- Intrusivo traquítico de la cantera cubierto por emisiones pliocenas (Pc).

Fotografía: R. Bailells

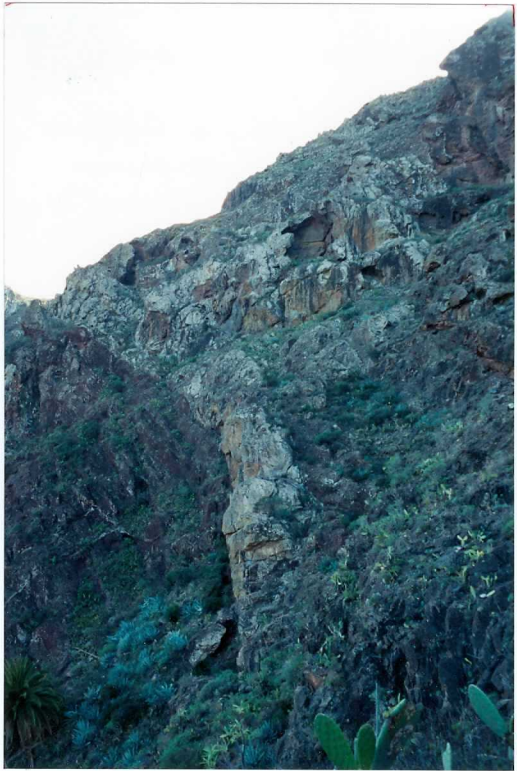
Edad: Mioceno.



Fot.21.- Intrusivo traquítico de La Cantera, atravesando las coladas basálticas miocenas (M). En la parte superior se encuentran las coladas pliocenas (P).

Fotografía: R.Balcells

Edad: Mioceno y Plioceno.



Fot.22.- Intrusivo traquítico de Cabezo de las Vetillas, atravesando piroclastos basálticos miocenos.

Fotografía: R.Balcells

Edad: Mioceno.



Fot. 23.- Intrusivo traquítico de Cabezo de las Vetillas, en la ladera oeste del barranco de Santiago, cerca de Targa. En el centro se observan restos de un edificio piroclástico.

Fotografía: R.Balcells

Edad: Mioceno.



Pot.24.- Intrusivo traquítico de El Calvario de Alajeró, visto desde el sur, con potente disyunción columnar vertical.

Fotografía: R.Balcells

Edad: Plioceno.



Fot.25.- Intrusivo traquítico de El Calvario de Alajeró, visto desde el este. Se observa la sucesión de coladas emitidas al extruir en superficie.

Fotografia: R.Balcells

Edad: Plioceno.



Fot.26.- Coladas traquíticas de Casanueva, al norte de Alajeró.

- Fotografia: R.Balcells

Edad: Plioceno.



Fot.27.- Intrusivo traquítico de Targa.

Fotografía: R.Balcells

Edad: Plioceno.



Fot. 28.- Espigón de coladas traquibasálticas de Cueva del Cardón, al sur de Tejiade.

Fotografía: R.Balcells

Edad: Plioceno.



Fot.29.- Potente colada de traquitas máficas, con disyunción columnar y lajeado característico, en el barranco de Tapahuga.

Fotografía: R. Balcells

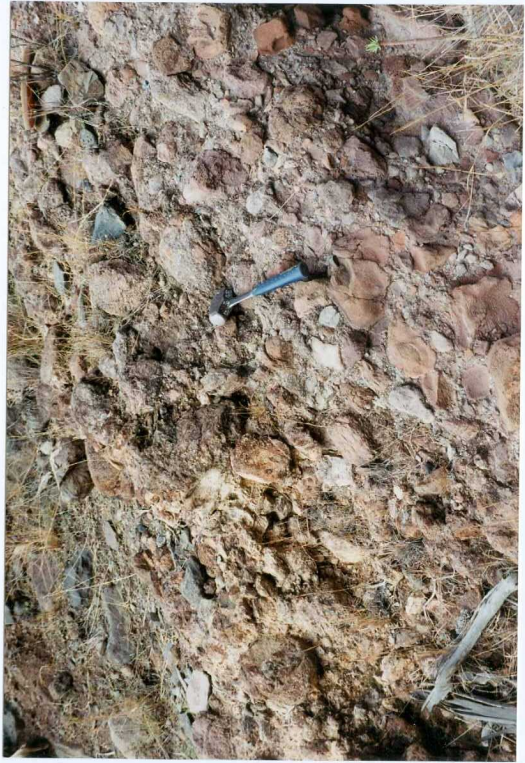
Edad: Mioceno.



Fot.3.- Vista de los apilamientos basálticos miocenos; en Valle Gran Rey. La parte alta del acantilado está constituida por coladas pliocenas.

Fotografía: R.Balcells

Edad: Mioceno y Plioceno.



Pot. 30.- Brecha caótica de base de coladas traquíticas, en el barranco de Tapahuga.

Fotografía: R. Balce IIS

Edad: Mioceno.



Fot.31.- Coladas traquíticas con disyunción columnar en la parte inferior de la ladera este del barranco de Chinguarime. En la parte superior se observan apilamientos de coladas basálticas.

Fotografía: R.Balcells

Edad: Mioceno.



Fot.32.- Discordancia entre las coladas basálticas miocenas (M) y las emisiones pliocenas (P), en Punta Gaviota.

Fotografía: R.Balcells

Edad: Mioceno y Plioceno.



Fot.33.- Vista de los apilamientos de coladas pliocenas, en los barrancos de Quines y de Iguala.

Fotografía: R.Balcells

Edad: Plioceno.



Fot.34.- Apilamiento de coladas basálticas pliocenas horizontales en la ladera oeste del barranco de Iguala.

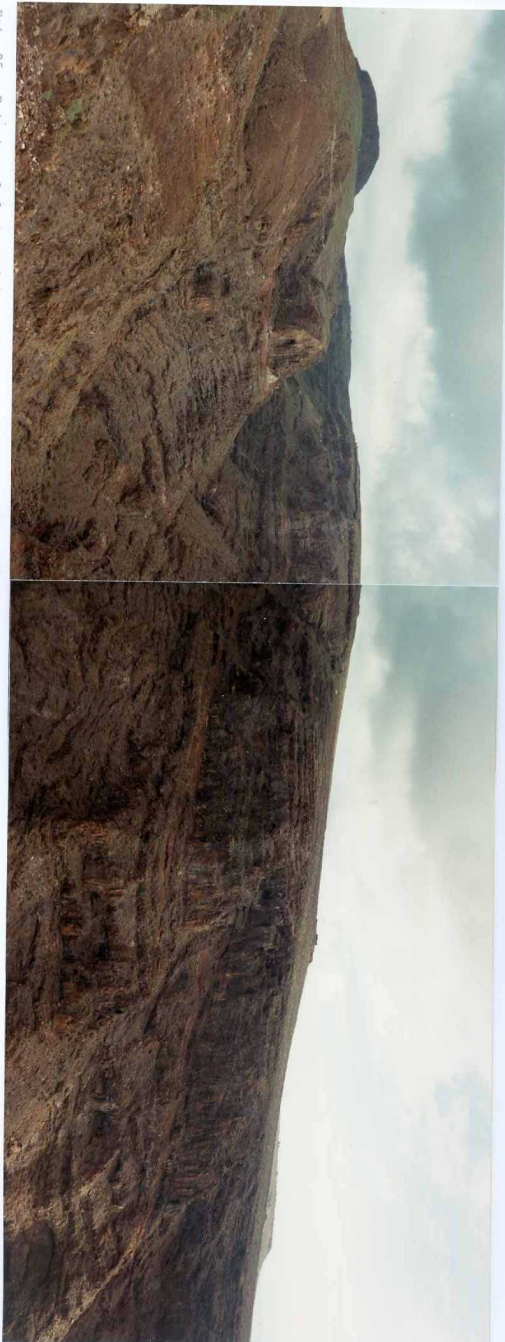
Fotografía: R.Balcells

Edad: Plioceno.

Fot. 35.- Potente colada traquítica pliocena discordante sobre apilamientos lávicos miocenos, en la ladera este del barranco de Ereses.

Fotografía: R.Balcells

Edad: Mioceno.

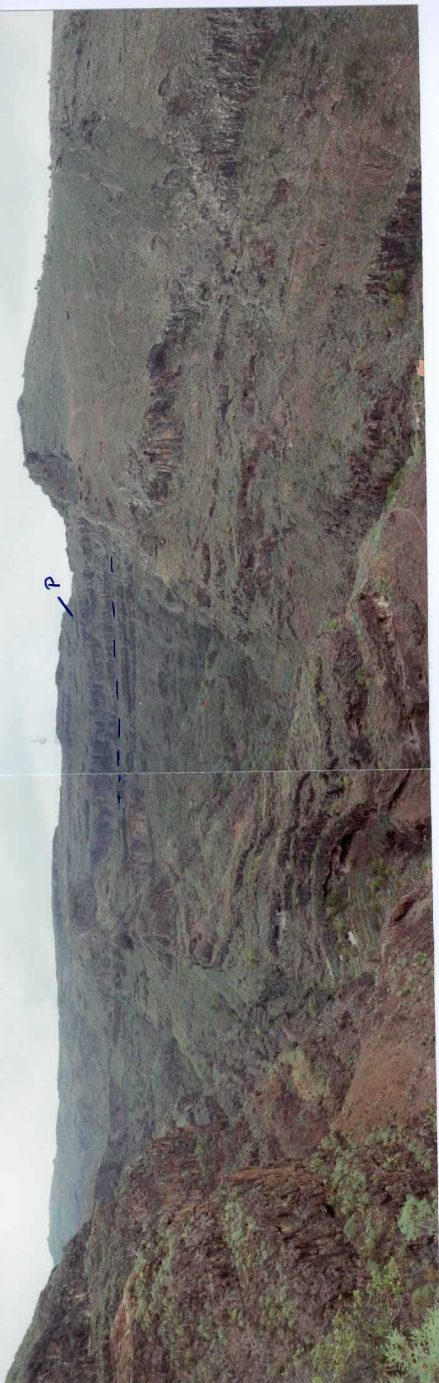




Fot. 36.- Potente colada traquítica con disyunción columnar, junto al camino desde Jerduñe a Seima, en la ladera este del barranco de Chinguarime.

Fotografía: R. Balcells

Edad: Mioceno.



Fot. 4.- Vista de las coladas basálticas miocenas, en el barranco de Almagrejo, discordantes con emisiones pliocenas (P), en la parte superior de la ladera este.

Edad: Mioceno.

Fotografía: R.Balcells



Fot.5.- Panorámica del barranco de Santiago, excavado en las coladas basálticas miocenas. Al fondo se observa el intrusivo traquítico de Agando (A).

Fotografía: R.Balcellis

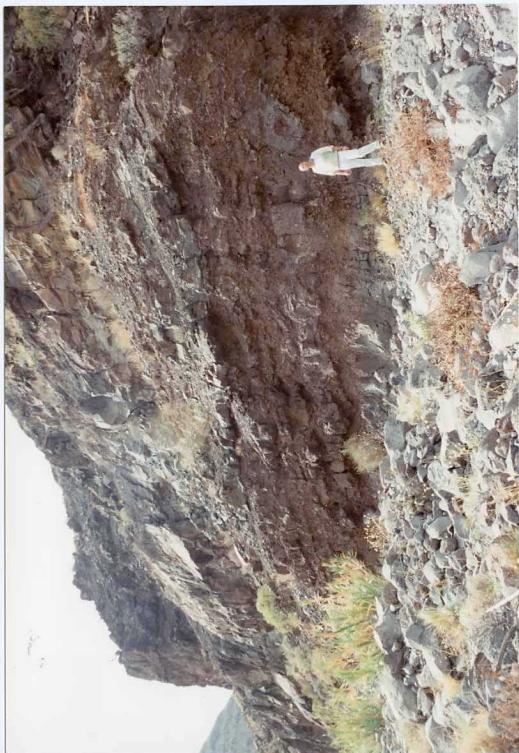
Edad: Mioceno.



Fot.6.- Afloramiento de las emisiones miocenas (M), en las partes inferiores del barranco de Iguala, cubiertas por emisiones pliocenas (P).

Fotografía: R.Balcells

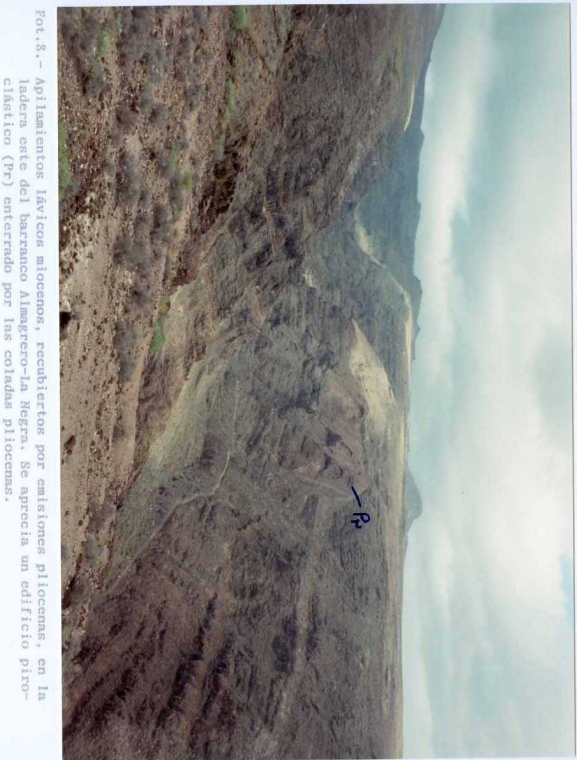
Edad: Mioceno y Plioceno.



Pot. 7.- Detalle de las coladas basálticas miocenas de la fotografía anterior. Se aprecia el carácter pahoehoe de las lavas miocenas, debajo de otras de tipo "ña" y más potentes, pliocenas.

Fotografía: R.Balcells

Edad: Mioceno.



fot.8.- Apilamientos lávicos miocenos, recubiertos por emisiones pliocenas, en la ladera este del barranco Almagre-La Negra. Se aprecia un edificio piroclástico (Pr) enterrado por las coladas pliocenas.

Fotografía: R.Balcells

Edad: Mioceno y Plioceno.



Fot.9.- Cono piroclástico óxido, enterrado por coladas pliocenas en la ladera este del barranco de Argaga.

Fotografía: R.Balcells

Edad: Mioceno y Plioceno.